

고희석\* 이충식\* 정형환\*\* 이태기\*\*\*

\*경남대학교 \*\*동아대학교 \*\*\*동의대학교

Short-term load forecasting using general exponential smoooothing.

Hee-Soog Koh\*, Chung-Sig Lee\*, Hyong-Hwan Chong\*\*, Tae-Gi Lee\*\*\*.

\*Kyung-Nam Univ. \*\*Dong-A Univ. \*\*\*Dong-Eui Univ.

#### ( ABSTRACT )

A technique computing short-term load forecasting is essential for monitoring and controlling power system operation. This paper shows the use of general exponential smoothing to develop an adaptive forecasting system based on observed value of hourly demand. Forecasts of hourly load with lead times of one to twenty-four hours are computed at hourly intervals throughout the week. Standard error for lead times of one to twenty-four hour range from three to four percent average load. Studies are planned to investigate the use of weather influence to increase forecast accuracy.

관측된 부하자료의 일반적인 모델  $X(t)$ 는 시간함수와 잡음요소의 선형결합으로 다음과 같이 표현 할 수 있다.

$$x(t) = a_1 f_1(t) + a_2 f_2(t) + \dots + a_n f_n(t) + e(t) \\ = \bar{a}' \bar{f}(t) + e(t) \quad (1)$$

여기서  $\bar{a}$  와  $\bar{f}(t)$ 는  $n \times 1$  열 벡터이고 계수  $\bar{a}$ 는 점진적으로 변화하지만 아주 느리게 변화하므로 최고 선재시간과 같거나 큰 시간대에서는 상수로 가정하였다.

이런 가정하에서 계수추정치  $\bar{a}(T)$ 와 적정함수로 부하 모델의 예측치가 계산된다.

$$\hat{x}(T+\tau) = \bar{a}'(T) \bar{f}(t+\tau) \quad (2)$$

이때 부하모델의 적정함수는 자료분석으로 결정하고 오차의 가중치의 합이 최소 일때 계수추정치  $\bar{a}(T)$ 를 결정하였다.<sup>7) 8) 9)</sup>

$$S_{\text{fit}} = \sum_{j=0}^{T-1} [ w x(t) - w \hat{x}(t) ]^2 \quad (3)$$

$$= \sum_{j=0}^{T-1} w^2 [ x(T-j) - \bar{a}(t) \bar{f}(T-j) ]^2$$

여기서  $w$ 는 가중치이고  $w^2 = \beta^j$  둔다. (단  $0 < \beta < 1$ )

$$\frac{\partial S_{\text{fit}}}{\partial a} \left|_{\bar{a}(T)} \right. = 0 \text{ 일때 계수추정치 } \bar{a}(T) \text{는 다음과} \\ \text{같이 된다.}$$

$$\bar{a}(T) = L \bar{a}(T-1) + \bar{h} [ x(T) - \hat{x}(T-1) ] \quad (4)$$

여기서  $L$ 는 부하모델이 선형함수이므로  $f(t) = L \bar{f}(t-1)$ 가 적정함수에 존재한다고 가정했을 때 천이 매트릭스이다.

#### 2. 모델과 표현기법

##### 2-1. 적정함수 모델과 계수추정

## 2-2. 자료분석

그림 1은 1990 - 1991 2년간의 주간평균부하를 표시한 것으로 부하자료에서 년간 평균부하전력의 증가율은 11.7%이고 공휴일을 제외한 주간평균 부하전력 증가율은 0.72%로 계산되었다.

주간평균 부하전력 증가율은 매우적어서 주간평균전력은 일정한 것으로 하였다. 또 그림 1에서 뚜렷한 계절적인 변화가 있음을 알 수 있다.

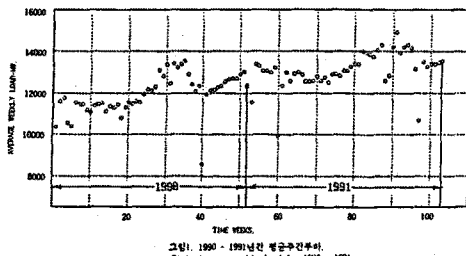


그림 1. 1990 - 1991년간 평균주간부하.  
Fig. 1. Average weekly load for 1990 - 1991.

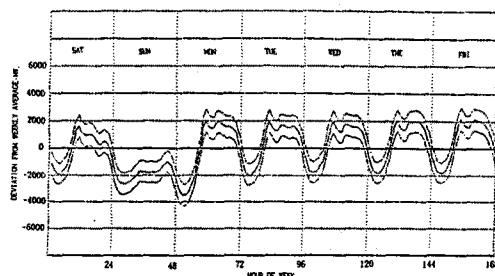


그림 2. 시간별 부하로 표시된 평균주간변화.  
Fig. 2. Average weekly variation in hourly load with two-sigma limit.

그림 2에서 중앙곡선은 3점 평균이동한 값을 표시한 곡선이며 상하곡선은 3점 평균이동한 값에 각각 표준편차 값을 가감한 곡선이다. 실측치의 95%가 이 범위내에 들어 있으므로 주간전력부하 모델은 그림 2와 같은 주기함수로 변화됨을 알 수 있다. 주간전력부하는 일주일을 주기로 나타낼 수 있으므로 푸리에 급수를 가장 적당한 모델함수로 하였다.

$$x(t) = C + \sum_{i=1}^n (a_i \sin \omega t + b_i \cos \omega t) \quad (5)$$

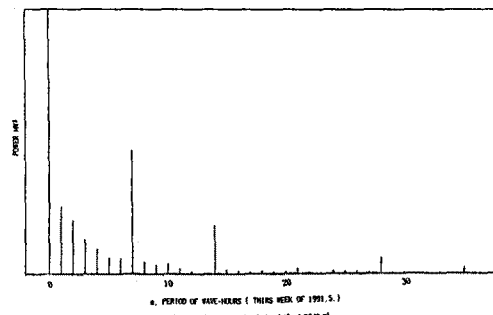
$$\text{일주일을 주기로 하였으므로 } \omega = \frac{2\pi}{168} K_i \quad (K < 84)$$

이고 적정함수와 적정함수의 천이 매트릭스는 다음과 같다.

$$f(t) = \begin{bmatrix} 1 \\ \sin \omega t \\ \cos \omega t \\ \sin 2\omega t \\ \cos 2\omega t \end{bmatrix} \quad (6)$$

$$L = \begin{bmatrix} 1 & & & & & \\ \cos \omega t & \sin \omega t & & & & \\ -\sin \omega t & \cos \omega t & & & & \\ & & \cos 2\omega t & \sin 2\omega t & & \\ & & -\sin 2\omega t & \cos 2\omega t & & \\ & & & \cos 3\omega t & \sin 3\omega t & \\ & & & -\sin 3\omega t & \cos 3\omega t & \end{bmatrix} \quad (7)$$

그림 2에 표시된 파형의 고조파 성분은 일주일의 실측부하자료에 대해 FFT로 분석한 파워 스펙트럼을 계산하여 결정하였다. <sup>10)</sup>



a. PERIOD OF SUCCESSIVE HOURS ( THIS WEEK OF 1991.5.)  
그림 3. 시간별 전자에 대한 전력 스펙트럼.  
Fig. 3. Power spectrum for hourly deviation.

주간전력부하의 변화가 적은 주의 파워 스펙트럼 계산에서는 고조파 성분이 비슷하였으며 주간전력부하의 변화가 많은 주는 더 많은 고조파 성분을 포함하고 있었으며 그림 3에 주간전력변화가 많은 주에서 계산된 파워 스펙트럼을 표시 하였다.

계절별로 고조파 성분을 구하여 부하예측을 시뮬레이션 할 때 참고 자료로 사용하였다.

## 3. 예측결과 및 검토

### 3-1. 예측시뮬레이션

1990 - 1991 년의 부하자료를 사용하며 서로다른 평활상수 ( $\beta$ )와 주파수로 2년간에 걸쳐서 시뮬레이션 하였다. 1990년 4월 ~ 6월 까지 부하는 계수를 추정하는데 사용하였고 나머지 기간에 대해서는 표준오차가 가장 적을때 부하 모델에 대한 최종적인 평활상수와 주파수로 결정하여 24시간 부하예측을 하였다.

24시간의 선재시간에 대한 예측의 표준오차를 MW로 표시하면 표와 같다.

표 1 주파수와 평활상수에 대한 예측오차.  
Table 1 The forecasting error for frequency  
and smoothing constant.

Model	harmonics	smoothing constants( $\beta$ )			
		0.895	0.994	0.997	0.999
1	1, 2, 3, 4, 5, 7, 14, 28	169	160	168	172
2	1, 2, 3, 4, 6, 7, 14, 28	170	162	168	170
3	1, 2, 3, 4, 7, 8, 14, 28	173	158	164	168
4	1, 2, 3, 4, 7, 14, 28	170	164	168	173

표 1에서 오차가 제일 적은 model 1의 주파수와 평활상수  $\beta=0.994$ 로 부하예측을 하였다. 모델 1 주파수는 파워스펙트럼에서 분석한 특출한 주파수들이 포함되어 있고, 0.985부터 0.997 까지의 범위내에서 평활상수 값을 사용하면 오차가 크게 변하지 않음을 알 수 있다. 평활상수 값이 0.985 보다 적을 때는 오차의 가중치가 너무 빨리 감소되므로 오차가 크게되고 평활상수 값이 0.999 보다 클 때는 상태 추정치가 거의 일정하게 되어 급속한 부하변화에 상태 추정이 되지 않으므로 큰 오차가 발생하였다.

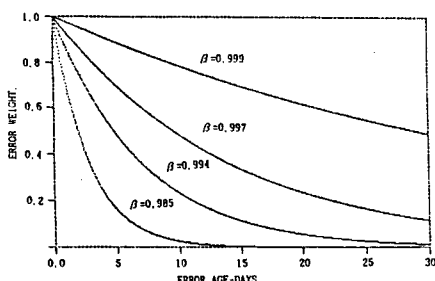


그림 4. 대표적인 지수 기중 함수.  
Fig4. Alternating exponential weighting function.

그림 4는 평활상수에 대한 지수가중함수의 표시이며 그림 4에서도 0.985에서 0.997 범위의 평활상수에 대해서는 오차의 급속한 가중이 없으므로 시뮬레이션 결과와 일치한다.

### 3-2 부하예측

1991년 부하자료를 이용하여 일주일씩 매일 24시간의 선재시간을 가지고 부하예측을 하였다. 공휴일과 일요일 부하는 주간평균전력부하 보다 적어서 큰 오차가 발생되고 이 큰 오차는 다음 평일에 큰 오차를 유발하는 경향이 있어 이런 효과를 피하기 위하여 식(4)의 계수추정에서 관측오차의 효과를 나타내는 항을 삭제하고 다음과 같이 수정하여 예측하였다.

$$\tilde{a}(T) = L' a(T-1) \quad \dots \dots \dots \quad (8)$$

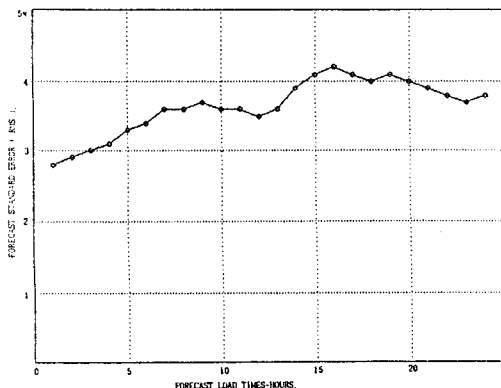


그림 5. 1991년 예측 시뮬레이션 표준오차.  
Fig 5. Standard error of simulated forecasts for 1991.

비교적 큰 오차가 나타날 때 일시적으로 적은  $\beta$  값으로 전환하여 빠른 응답에 대응하고 새로운 시스템으로 전환하는 운전을 실행하지 못하였다. 그림 5는 24시간 선재 시간에 대한 표준오차를 나타낸 것으로 1일 동안에 경부하시와 첨두부하시에 비교적 오차가 크게 나타났다.

### 4. 결 론

본 연구에서는 시간별 과거 부하자료를 사용하여 1주일을 주기로 한 1시간의 선재시간을 가지고 매시간 부하예측 시뮬레이션을 하였으며 1~24시간의 선재시간에 대한 표준오차는 2.8~4.3%로 만족스러운 결과는 아니나 계절변화나 공휴일에 관계없이 매일 시간 부하 변화에 자동적으로 추정되기 때문에 운전하기가 편리한 점도 있다. 앞으로 예측정도를 높이기 위해서 예측 시뮬레이션 방법을 개선하고 기상 변화에 따른 온도보상을 예측 모델에 삽입시키는 방법을 연구해야 할 과제이다.

### Reference

- 1) 고희석, 이태기, "지수평활에의 장기 최대 전력 수요 예측에 관한 연구" 한국조명, 전기설비학회지 제6권 3호 pp43-48 1992.6.
- 2) D. W. Bunn, E. D. Farmer "Comparative Models for Electrical Load Forecasting" John Wiley & Sons 1985 pp43-56.
- 3) K. L. S. Sharma, A. K. Mahalanabis "Recursive short-term load forecasting algorithm" PROC, IEE, vol 121 No 1 1974 pp59-62.
- 4) Pradeep C. Gupta, Keigo Yamada "Adaptive short-term forecasting of hourly load using weather information" IEEE winter meeting New York, January 30~February 4

1972 pp2085-2094.

- 5) G.T.Heinimann et al "The relationship between summer weather and summer load a regression analysis" IEEE Transaction power Apparatus and system, vol PAS-85 No 11 Nov1966 pp 1144-1154
- 6) George Gross "short-term load Tore costing" proc IEEE vol 75. No 12 1987 pp 1558-1569.
- 7) Christiaanse W.R. "short-term load fore casting using general exponential smoothing" ibid 1971 PAS-90 pp900-910.
- 8) Montgomery, Johnson "Fore casting and time series analysis" pp75-122.
- 9) R.G.Brown "Smoothing fore casting and prediction of discrete time series" Prentio-Hall 1963 pp174-198.
- 10) Samuel D.Stearns, Don R.Hash "Digital signal analysis" Prentice-Hall 1990 pp59-96.